

# Das Dreikörperproblem

Proseminar Theoretische Physik

Alexander Müller

02.07.2014

# Gliederung

- **Allgemeines**
- **Circular Restricted Problem**
- **Stabilität im allgemeinen Dreikörperproblem**
- **Periodische Lösungen**

# Motivation

## Problem:

Bewegung dreier Punktmassen unter Gravitationsgesetz

- System gewöhnlicher Differentialgleichungen

$$m_i \ddot{\vec{r}}_i = \sum_{i \neq j} m_i m_j \frac{\vec{r}_i - \vec{r}_j}{|\vec{r}_i - \vec{r}_j|^3} = \frac{\partial U}{\partial \vec{r}_i}, \quad U = \sum_{i \neq j} \frac{m_i m_j}{|\vec{r}_j - \vec{r}_i|}, \quad U = -V$$

Im Allgemeinen nicht analytisch lösbar

- Näherungen, qualitative Untersuchungen

## Anwendung:

Untersuchung von Planetenbahnen, Positionierung von Satelliten

# Symmetrien und Erhaltungsgrößen

Gleichungen invariant unter:

- Zeittranslationen
- Boosts
- Translationen, Rotationen

Erhaltungsgrößen:

→ Die (hamiltonsche) Gesamtenergie  $H = \frac{1}{2} \|y\|^2 - U(x)$

→ Der Gesamtimpuls  $P = \sum_{1 \leq i \leq p} m_i \dot{\vec{r}}_i$

→ Der Gesamtdrehimpuls  $C = \sum_{1 \leq i \leq 3} m_i \vec{r}_i \times \dot{\vec{r}}_i$

Mit  $y = \begin{pmatrix} \dot{\vec{r}}_1 \\ \dot{\vec{r}}_2 \\ \dot{\vec{r}}_3 \end{pmatrix}, x = \begin{pmatrix} \vec{r}_1 \\ \vec{r}_2 \\ \vec{r}_3 \end{pmatrix}$

# Homographische Lösungen

## Zentralkonfiguration:

Eine Konfiguration  $x$  heißt zentral, wenn jeder Massenpunkt eine zum Schwerpunkt wirkende Kraft erfährt.

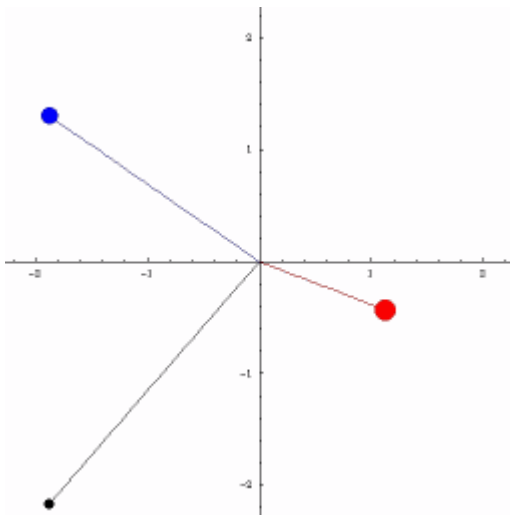
$$\Rightarrow \sum_j m_j \frac{\vec{r}_j - \vec{r}_i}{|\vec{r}_j - \vec{r}_i|^3} = \lambda (\vec{r}_i - \vec{r}_s), \quad \vec{r}_s \equiv \text{Schwerpunkt}, \quad \lambda < 0$$

$$\Leftrightarrow \sum_j m_j \left( \frac{1}{|\vec{r}_j - \vec{r}_i|^3} + \frac{\lambda}{M} \right) (\vec{r}_j - \vec{r}_i) = 0, \quad M \equiv \text{Gesamtmasse}$$

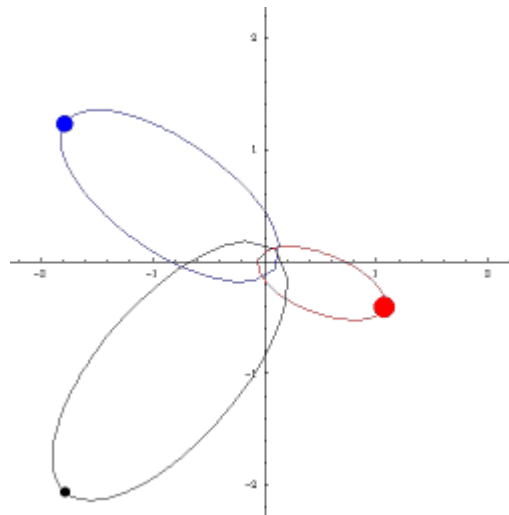
- Bei einer nicht kollinearen Konfiguration bilden die Massenpunkte für alle festen Zeiten  $t$  gleichseitige Dreiecke.

# Homographische Lösungen

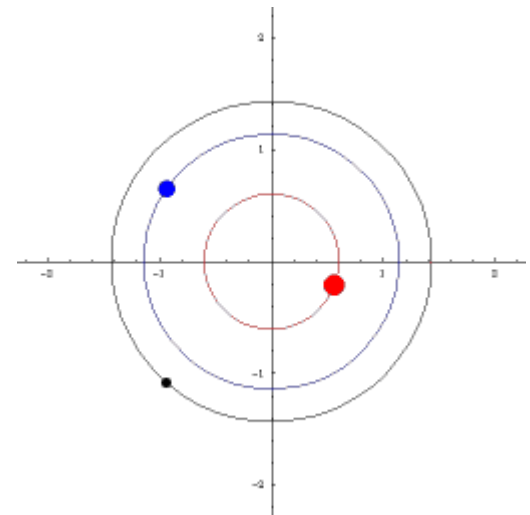
- Für Zentralkonfigurationen gibt es exakte Lösungen und es gilt
  - ➔ Massenpunkte bewegen sich auf Keplerbahnen
  - ➔ Exzentrizitäten  $\epsilon$  aller Bahnen für eine Lösung gleich



$$\epsilon = 1$$



$$\epsilon = 0.9$$



$$\epsilon = 0$$

# Gestörtes Zweikörperproblem

## Koordinatentransformation

$$X_0 = x_0, \quad X_j = x_j - x_0, \quad Y_0 = y_0 + \mu y_1 + \mu y_2, \quad Y_j = y_j, \quad j=1,2 \quad (\text{Poincaré})$$

Hamiltonfunktion transformiert zu

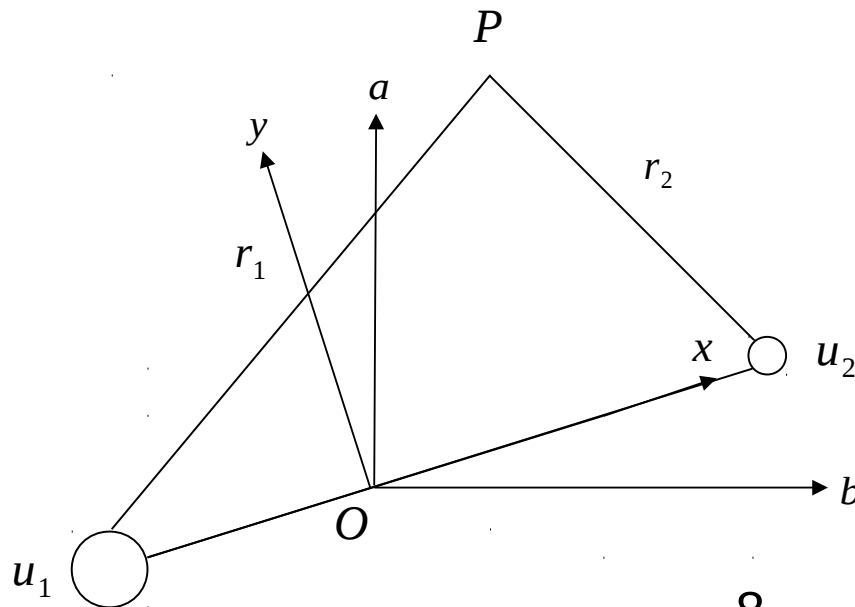
$$H = \sum_{1 \leq j \leq 2} \left( \frac{\|Y_j\|^2}{2\tilde{m}_j} - \frac{\tilde{m}_j M_j}{\|X_j\|} \right) + \mu \left( \frac{Y_1 Y_2}{m_0} - \frac{m_1 m_2}{\|X_1 - X_2\|} \right) = H_0 + \mu R, \quad M_j = m_0 + \mu m_j, \quad \tilde{m}_j = \frac{m_0 m_j}{M_j}$$

für Massen  $m_0$ ,  $\mu m_1$ ,  $\mu m_2$  und  $Y_0 = 0$

→ Zwei ungekoppelte Keplerprobleme mit einer Störung

# Circular Restricted Problem

- Störung wird vor allem für  $m_0 \gg \mu m_j$ ,  $j=1,2$  analysiert
  - ➔ Problem: Sonne-Planet-Planet
  - ➔ Im Grenzfall  $m_2 \rightarrow 0$  wird z.B. Sonne-Erde-Mond betrachtet
  - ➔ Circular Restricted Problem
- Man wählt folgendes Koordinatensystem:



$O \equiv \text{Ursprung} \equiv \text{Schwerpunkt}$   
 $u_1 = Gm_1$ ,  $u_2 = Gm_2$

Positionen der großen Massen  $m_1, m_2$ :

$$\vec{r}_{m1} = \begin{pmatrix} -u_2 \\ 0 \end{pmatrix} \text{ und } \vec{r}_{m2} = \begin{pmatrix} u_1 \\ 0 \end{pmatrix}$$

$$r_1^2 = (x + u_2)^2 + y^2, \quad r_2^2 = (x - u_1)^2 + y^2$$

# Jacobi Konstante und Hill Region

- Bewegung von  $m_3 \equiv 0$  soll analysiert werden
  - Annahme: Bewegung von  $m_1, m_2$  zirkular, System rotiert mit
  - Feste Position
- Gesamtenergie ist konstant
  - Region konstanter Energie
  - algebraische Gleichung
  - Jacobi Konstante  $C_j$

# Jacobi Konstante und Hill Region

**Herleitung der Jacobi Konstante:**

Beschleunigung im festen System:

$$\ddot{a} = u_1 \frac{a_1 - a}{r_1^3} + u_2 \frac{a_2 - a}{r_2^3} \quad (1), \quad \ddot{b} = u_1 \frac{b_1 - b}{r_1^3} + u_2 \frac{b_2 - b}{r_2^3} \quad (2)$$

Wechsel zwischen festen und rotierenden Koordinaten erfolgt durch Drehung

$$\Rightarrow \begin{pmatrix} a \\ b \end{pmatrix} = \begin{pmatrix} \cos(nt) & -\sin(nt) \\ \sin(nt) & \cos(nt) \end{pmatrix} \begin{pmatrix} x \\ y \end{pmatrix} \quad (3)$$

$$\Leftrightarrow \begin{pmatrix} \ddot{a} \\ \ddot{b} \end{pmatrix} = \begin{pmatrix} \cos(nt) & -\sin(nt) \\ \sin(nt) & \cos(nt) \end{pmatrix} \begin{pmatrix} \ddot{x} - 2n\dot{y} - n^2 x \\ \ddot{y} + 2n\dot{x} - n^2 y \end{pmatrix} \quad (4)$$

# Jacobi Konstante und Hill Region

- Einsetzen von  $\ddot{a}$ ,  $\ddot{b}$  und  $r_1^2 = (x + u_2)^2 + y^2$ ,  $r_2^2 = (x - u_1)^2 + y^2$

$$\Rightarrow \ddot{x} - 2n\dot{y} = \frac{\partial U}{\partial x} \quad (5), \quad \ddot{y} + 2n\dot{x} = \frac{\partial U}{\partial y} \quad (6)$$

mit 
$$U = \frac{n^2}{2}(x^2 + y^2) + \frac{u_1}{r_1} + \frac{u_2}{r_2}$$

$$\Rightarrow \dot{x}\ddot{x} + \dot{y}\ddot{y} = \frac{\partial U}{\partial x}\dot{x} + \frac{\partial U}{\partial y}\dot{y} = \frac{dU}{dt}$$

$$\Leftrightarrow \dot{x}^2 + \dot{y}^2 = 2U - C_j$$

# Jacobi Konstante und Hill Region

Also folgt

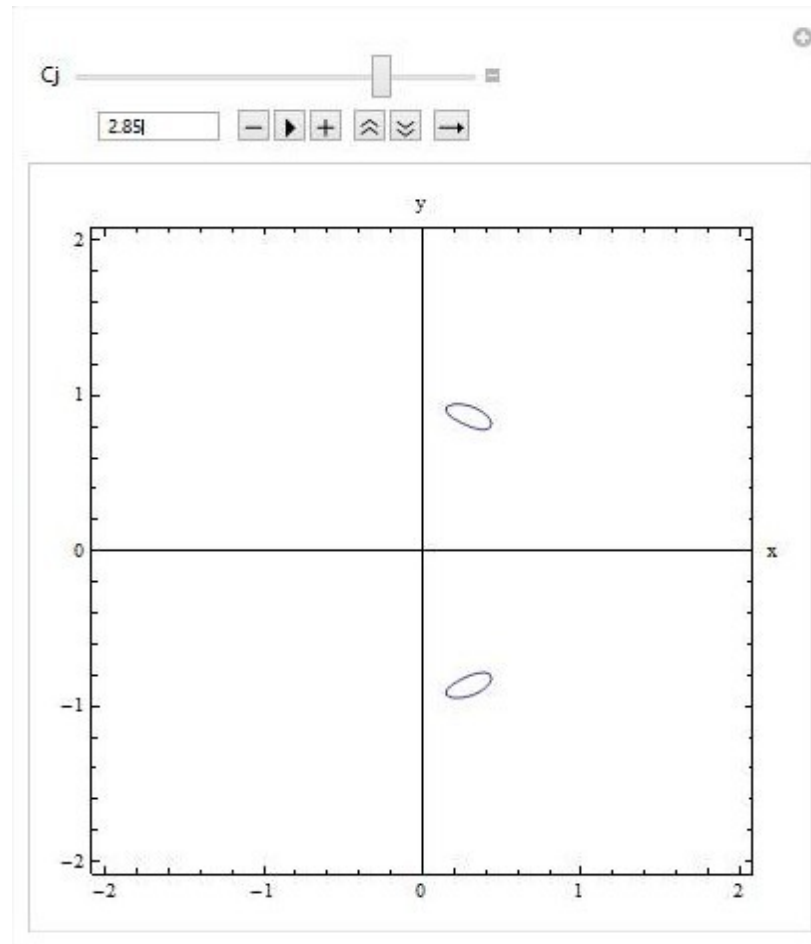
$$C_j = 2U - v^2 = n^2(x^2 + y^2) + 2\left(\frac{m_1}{r_1} + \frac{m_2}{r_2}\right) - (\dot{x}^2 + \dot{y}^2)$$

- Definiert Hill Region (außerhalb dieser keine Bewegung möglich)
- Bestimmung der Begrenzung der Region:  $\dot{x} = \dot{y} = 0$

$$\begin{array}{l} \dot{x} = \dot{y} = 0 \\ \Rightarrow \end{array} C_j = n^2(x^2 + y^2) + 2\left(\frac{u_1}{r_1} + \frac{u_2}{r_2}\right)$$

# Jacobi Konstante und Hill Region

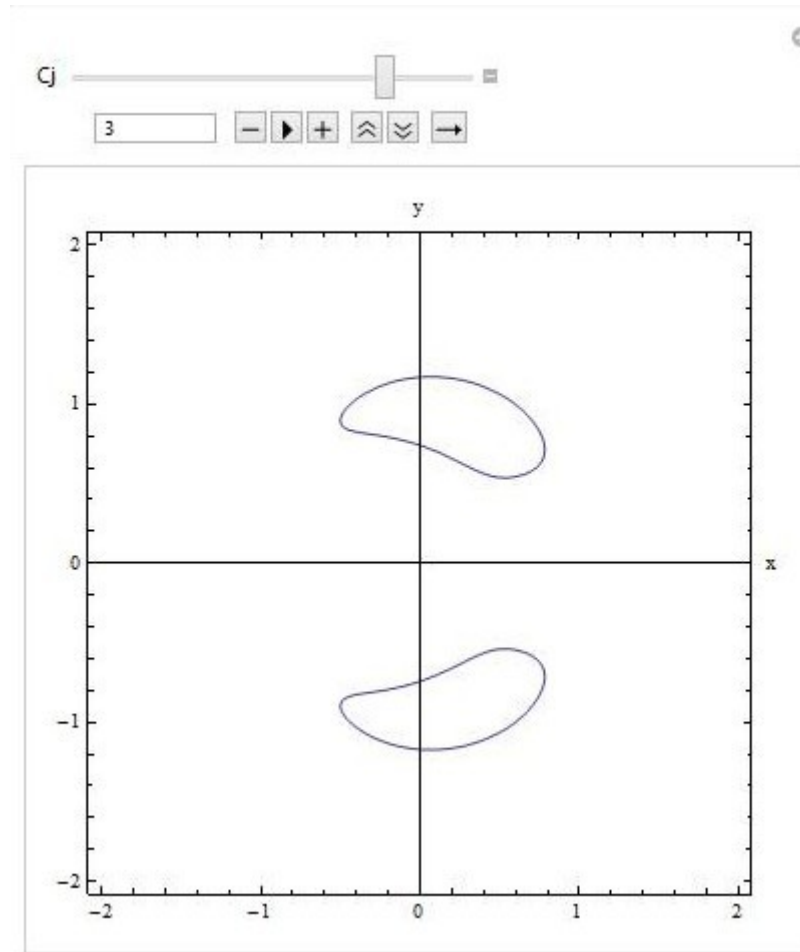
Die Hill Region für unterschiedliche Werte der Jacobi Konstante:



$$C_j = 2.85$$

# Jacobi Konstante und Hill Region

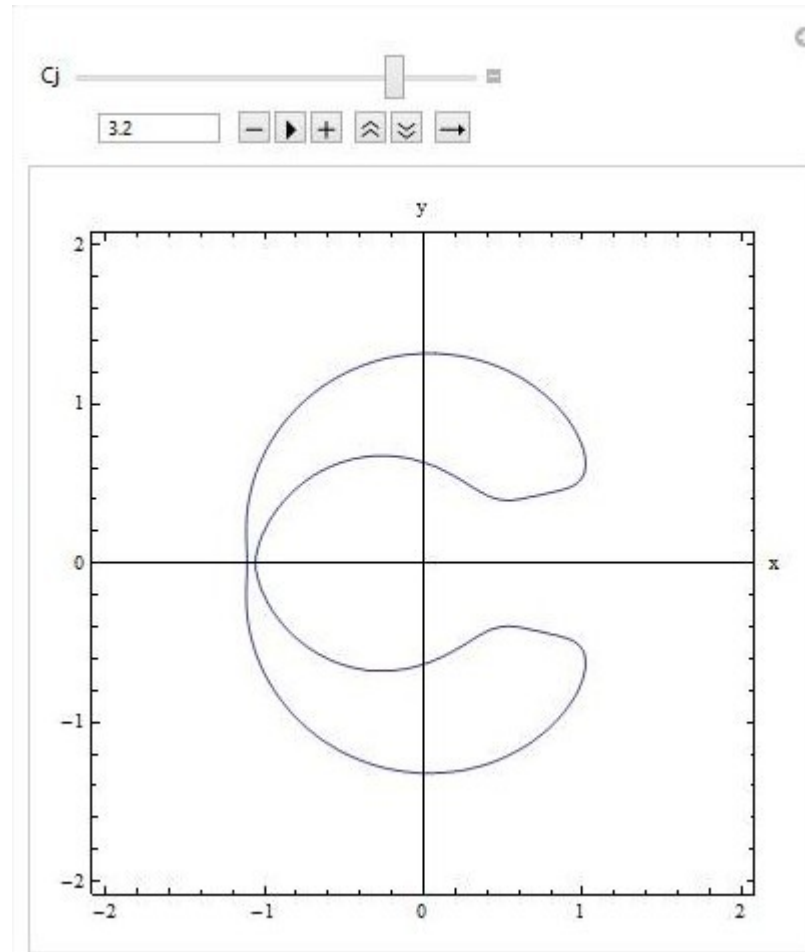
Die Hill Region für unterschiedliche Werte der Jacobi Konstante:



$$C_j = 3$$

# Jacobi Konstante und Hill Region

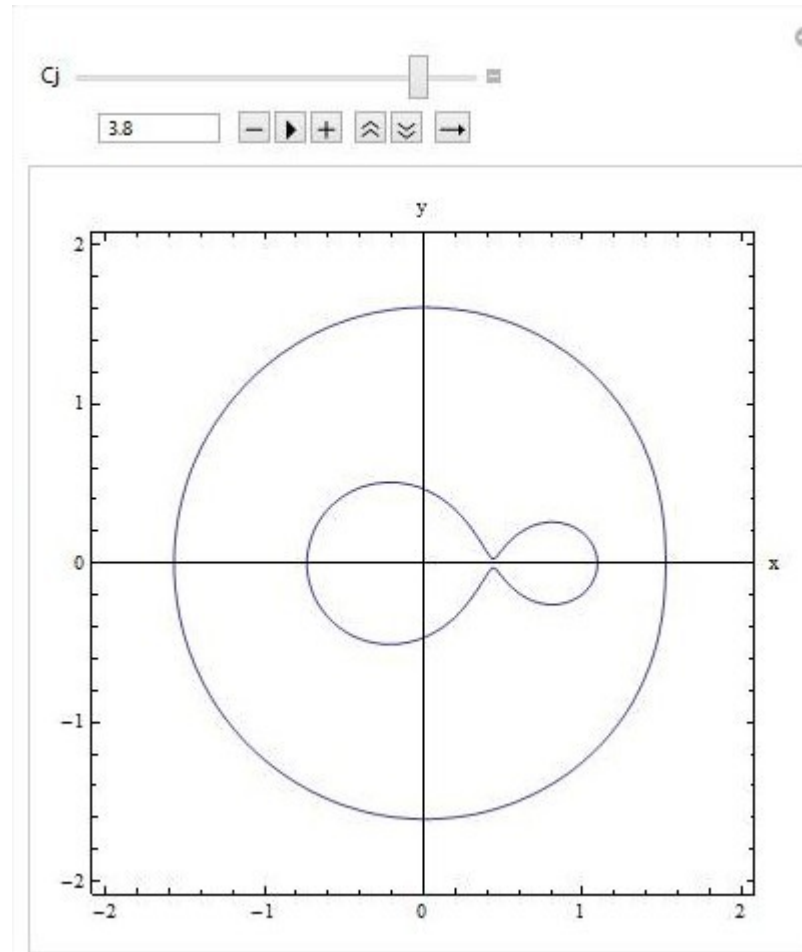
Die Hill Region für unterschiedliche Werte der Jacobi Konstante:



$$C_j = 3.2$$

# Jacobi Konstante und Hill Region

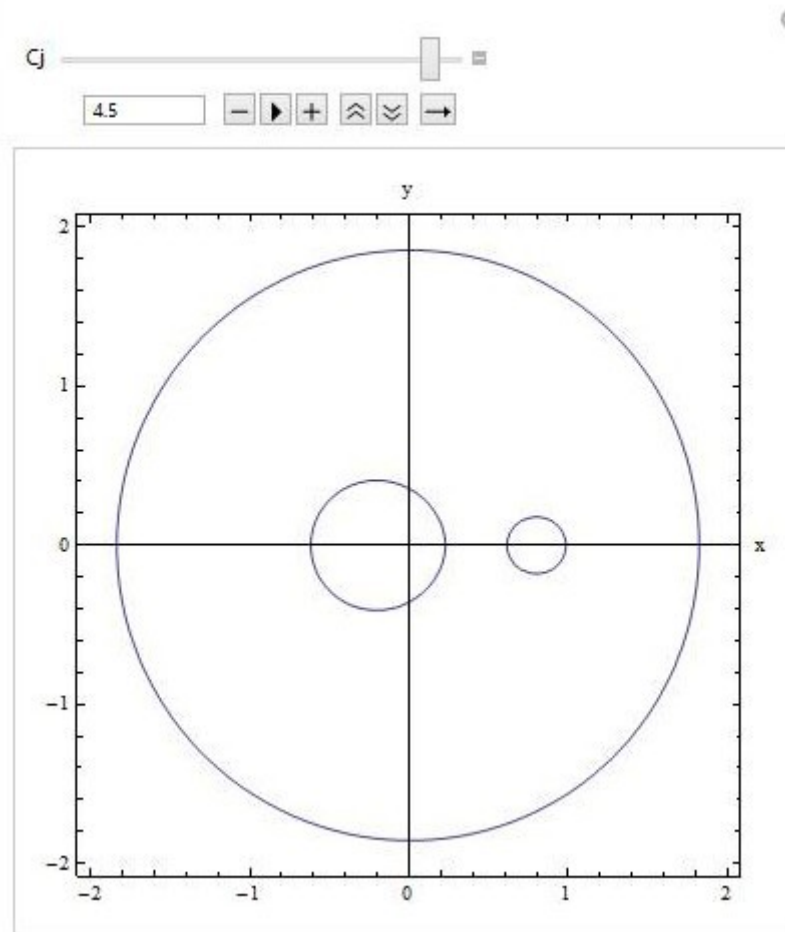
Die Hill Region für unterschiedliche Werte der Jacobi Konstante:



$$C_j = 3.8$$

# Jacobi Konstante und Hill Region

Die Hill Region für unterschiedliche Werte der Jacobi Konstante:



$$C_j = 4.5$$

# Equilibrien und Stabilität

Nun sollen die Equilibrien des Systems berechnet werden

$$\dot{x} = \ddot{x} = \dot{y} = \ddot{y} = 0$$

Setze  $u_1 + u_2 = 1$

Ausgedrückt durch die Radien  $r_1, r_2$  ergibt sich für U

$$U = u_1 \left( \frac{1}{r_1} + \frac{r_1^2}{2} \right) + u_2 \left( \frac{1}{r_2} + \frac{r_2^2}{2} \right) - \frac{1}{2} u_1 u_2$$

$$\Rightarrow \ddot{x} - 2n \dot{y} = 0 = \frac{\partial U}{\partial x}, \quad \ddot{y} + 2n \dot{x} = 0 = \frac{\partial U}{\partial y}$$

# Equilibrien und Stabilität

Also

$$\frac{\partial U}{\partial x} = \frac{\partial U}{\partial r_1} \frac{\partial r_1}{\partial x} + \frac{\partial U}{\partial r_2} \frac{\partial r_2}{\partial x} = 0, \quad \frac{\partial U}{\partial y} = \frac{\partial U}{\partial r_1} \frac{\partial r_1}{\partial y} + \frac{\partial U}{\partial r_2} \frac{\partial r_2}{\partial y} = 0$$

Nach Ausrechnen der Ableitungen:

$$u_1 \left( -\frac{1}{r_1^2} + r_1 \right) \frac{x + u_2}{r_1} + u_2 \left( -\frac{1}{r_2^2} + r_2 \right) \frac{x - u_1}{r_2} = 0 \quad (7)$$

$$u_1 \left( -\frac{1}{r_1^2} + r_1 \right) \frac{y}{r_1} + u_2 \left( -\frac{1}{r_2^2} + r_2 \right) \frac{y}{r_2} = 0 \quad (8)$$

# Equilibrien und Stabilität

Und damit

$$\Leftrightarrow u_1 \left( -\frac{1}{r_1^2} + r_1 \right) = 0, \quad u_2 \left( -\frac{1}{r_2^2} + r_2 \right) = 0 \quad (y \neq 0)$$

$$\Leftrightarrow x = \frac{1}{2} - u_2, \quad y = \pm \frac{\sqrt{3}}{2}, \quad L_4 = \begin{pmatrix} \frac{1}{2} - u_2 \\ \frac{\sqrt{3}}{2} \end{pmatrix}, \quad L_5 = \begin{pmatrix} \frac{1}{2} - u_2 \\ -\frac{\sqrt{3}}{2} \end{pmatrix}$$

Diese Equilibrien bilden die Spitzen zweier gleichschenkliger Dreiecke.

# Equilibrien und Stabilität

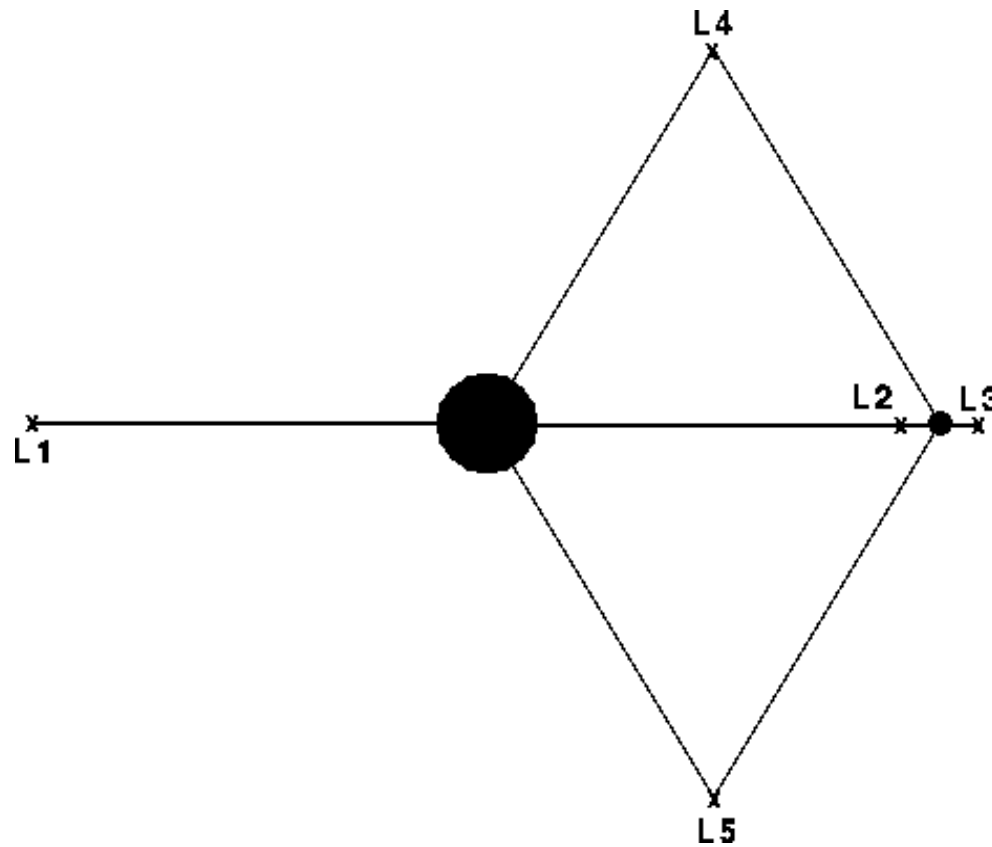
Für  $y=0$  ergibt sich

$$r_2 = \alpha - \frac{1}{3}\alpha^2 - \frac{1}{9}\alpha^3 - \frac{23}{81}\alpha^4 + o(\alpha^5), \quad \alpha = \left( \frac{m_2}{3m_1} \right)^{\frac{1}{3}}, \quad r_1 = 1 - r_2 \quad (L_1)$$

$$r_2 = \alpha + \frac{1}{3}\alpha^2 - \frac{1}{9}\alpha^3 - \frac{31}{81}\alpha^4 + O(\alpha^5), \quad r_1 = 1 + r_2 \quad (L_2)$$

$$r_1 = 1 + \beta, \quad r_2 = 2 + \beta, \quad \beta = \frac{7}{12} \left( \frac{\mu_2}{\mu_1} \right) + \frac{7}{12} \left( \frac{\mu_2}{\mu_1} \right)^2 - \frac{13223}{20736} \left( \frac{\mu_2}{\mu_1} \right)^3 + O \left( \frac{\mu_2}{\mu_1} \right)^4 \quad (L_3)$$

# Equilibrien und Stabilität



# Equilibrien und Stabilität

## Überprüfung auf lineare Stabilität

- Betrachtung von linearisiertem U
- Bewegung in kleiner Umgebung der Equilibrien

$$\Rightarrow x = x_{L4} + \delta x, \quad y = y_{L4} + \delta y$$

$$\delta \ddot{x} - 2n \delta \dot{y} = \delta x \left( \frac{\partial^2 U}{\partial x^2} \right)_{L4} + \delta y \left( \frac{\partial^2 U}{\partial x \partial y} \right)_{L4}$$

$$\delta \ddot{y} + 2n \delta \dot{x} = \delta x \left( \frac{\partial^2 U}{\partial x \partial y} \right)_{L4} + \delta y \left( \frac{\partial^2 U}{\partial y^2} \right)_{L4}$$

# Equilibrien und Stabilität

Bewegungsgleichungen in Matrixdarstellung

$$\Rightarrow \begin{pmatrix} \delta \dot{x} \\ \delta \dot{y} \\ \delta \ddot{x} \\ \delta \ddot{y} \end{pmatrix} = \begin{pmatrix} 0 & 0 & 1 & 0 \\ 0 & 0 & 0 & 1 \\ U_{xxL4} & U_{xyL4} & 0 & 2n \\ U_{xyL4} & U_{yyL4} & -2n & 0 \end{pmatrix} \begin{pmatrix} \delta x \\ \delta y \\ \delta \dot{x} \\ \delta \dot{y} \end{pmatrix}$$

Stabilität soll in Abhängigkeit der Massen analysiert werden

→ Konvention  $G(m_1 + m_2) = 1$  aufgehoben

# Equilibrien und Stabilität

Für die Ableitungen ergibt sich

$$U_{xxL4} = \frac{1}{4} \frac{G(m_1 + m_2)}{r_1^3} - n^2, \quad U_{yyL4} = \frac{5}{4} \frac{G(m_1 + m_2)}{r_1^3} - n^2, \quad U_{xyL4} = -\frac{3\sqrt{3}}{4} K \frac{G(m_1 + m_2)}{r_1^3}, \quad K = \pm \frac{m_1 - m_2}{m_1 + m_2}$$

$$\Rightarrow A = \begin{pmatrix} 0 & 0 & 1 & 0 \\ 0 & 0 & 0 & 1 \\ -\frac{3}{4}n^2 & -\frac{3\sqrt{3}}{4}Kn^2 & 0 & 2n \\ -\frac{3\sqrt{3}}{4}Kn^2 & -\frac{9}{4}n^2 & -2n & 0 \end{pmatrix}$$

# Equilibrien und Stabilität

Es ergeben sich die Eigenwerte

$$\lambda = \pm i \frac{n}{2} \sqrt{(2 - \sqrt{(27K^2 - 23)})}, \quad \sigma = \pm i \frac{n}{2} \sqrt{(2 + \sqrt{(27K^2 - 23)})}$$

Forderung: Eigenwerte imaginär

$$\Leftrightarrow \frac{m_1}{m_2} \geq \frac{25 + 3\sqrt{69}}{2}$$

Und sind also nur stabil, wenn die eine Masse wesentlich größer ist als die andere!

# Equilibrien und Stabilität

Analog für die anderen Equilibrien

$$\lambda = \pm n \sqrt{(1 + 2\sqrt{7})}, \quad \sigma = \pm i n \sqrt{(2\sqrt{7} - 1)} \quad (L_1, L_2)$$

$$\lambda = \pm n \sqrt{\frac{3m_1}{8m_2}}, \quad \sigma = \pm i n \sqrt{7} \quad (L_3)$$

- Es kommt jeweils ein positiver Eigenwert vor
- Die Equilibrien auf der x-Achse sind dynamisch instabil

# Stabilität im allgemeinen Problem

Dritte Masse ist nicht mehr vernachlässigbar klein

- Unterscheidung zwischen Arten von Stabilität
- Hill- Stabilität
- Sundman- Stabilität

# Hill- und Sundmann- Stabilität

Eine Masse  $m$  heißt Hill- stabil, falls

$$|\vec{r}_i| < C_1, \quad C_1 \in \mathbb{R}, \quad \forall t$$

und Sundman- stabil bezüglich eines Sterns  $M$ , falls

$$|\vec{r}_i - \vec{r}_j| < C_2, \quad C_2 \in \mathbb{R}, \quad \forall t$$

Sundman- Stabilität gibt also eine Bindungsbedingung an, während Hill- Stabilität lediglich fordert, dass die Masse das System nicht verlässt.

# Sundman Gleichung

## Untersuchung von Sundman- Stabilität

- Sundman Gleichung

$$(U - C)J - B = \frac{\dot{J}}{8}, \quad J \equiv \text{Trägheitsmoment des Systems}$$

Analog zur Bestimmung einer Hill Region

$$\dot{J} = 0$$

$$\Rightarrow (U - C)J = B$$

# Sundman Gleichung

Es sind zu lösen

$$\frac{\partial S}{\partial x} = 0, \quad \frac{\partial S}{\partial y} = 0, \quad \frac{\partial S}{\partial z} = 0, \quad S = (U - C)J$$

Analog zum Circular Restricted Problem ergeben sich Punkte  $S_1 - S_5$

# Sundman Gleichung

mit

$$S_i = \begin{pmatrix} x_i \\ 0 \\ \frac{G m_1 m_2}{2C} + \frac{G m_2 m_3}{2C \sqrt{(x_i-1)^2}} + \frac{G m_3 m_1}{2C \sqrt{x_i^2}} \end{pmatrix} \quad i=1,2,3, \quad S_{4,5} = \begin{pmatrix} \frac{1}{2} \\ \pm \frac{\sqrt{3}}{2} \\ G \frac{m_1 m_2 + m_2 m_3 + m_1 m_3}{2C} \end{pmatrix}$$

Es folgt aus der Abhängigkeit

$$B_i = \frac{G^2}{4MC} \left( m_1 m_2 + m_2 m_3 (r_{23})_i^2 + m_3 m_1 (r_{31})_i^2 \right) \left( m_1 m_2 + m_2 \frac{m_3}{(r_{23})_i} + m_3 \frac{m_1}{(r_{31})_i} \right)^2$$

dass nur für  $B < B_2$  Sundman- Stabilität möglich ist.

# Periodische Lösungen

Qualitative Untersuchung Periodischer Lösungen (Poincaré)

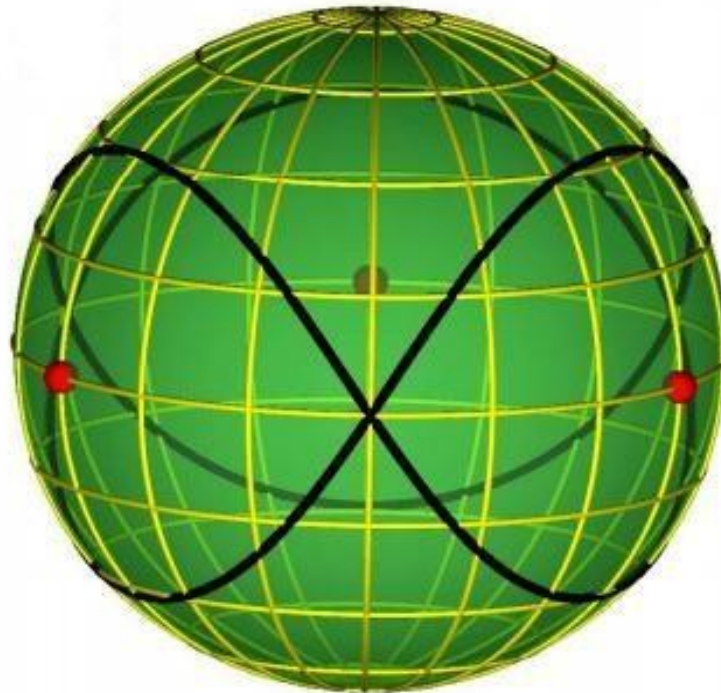
- Gliederung in Familien von Lösungen
- Topologische Untersuchung

Übertragung der Koordinaten in relatives Koordinatensystem

$$\rho^2, \quad \lambda^2, \quad R = \sqrt{\rho^2 + \lambda^2}, \quad \rho = \frac{1}{\sqrt{2}}(x_1 - x_2), \quad \lambda = \frac{1}{\sqrt{6}}(x_1 + x_2 - 2x_3)$$

- Es ergeben sich sogenannte Shape Spheres

# Periodische Lösungen



# Topologische Untersuchung

- Betrachtung periodischer Lösungen ohne Kollision
- Projektion der Sphäre auf Ebene
  - ➔ ein Pol (=Nordpol) verschwindet ins Unendliche
- Periodische Lösungen bilden freie Gruppe
  - ➔ Erzeuger  $a, b$  der freien Gruppe mit
    - $a$  : Umlauf rechter Pol (mit Uhrzeigersinn)
    - $b$  : Umlauf linker Pol (gegen Uhrzeigersinn)

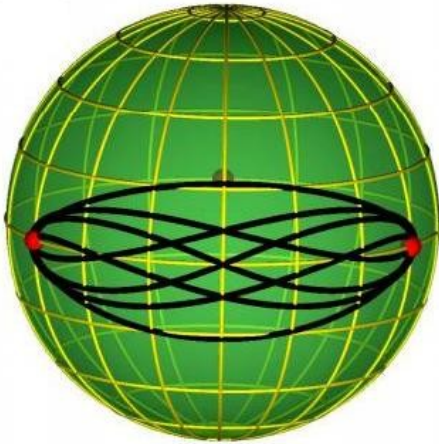
# Topologische Untersuchungen

- Geometrische Klassen:
  - I) Achsensymmetrie bzgl. Äquator und Nullmeridian
  - II) Punktsymmetrie am „Ursprung“
- Algebraische Klassen:
  - A) Die Äquivalenzklasse  $a \Leftrightarrow a^{-1}$  und  $b \Leftrightarrow b^{-1}$
  - B)  $a^{-1} \Leftrightarrow b^{-1}$  und  $a \Leftrightarrow b$
  - C) weder A noch B

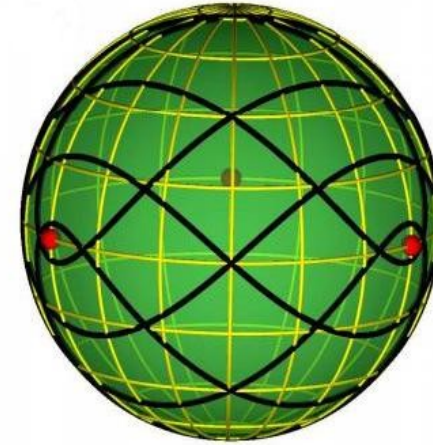
A korrespondiert immer mit I und C immer mit II, B kann mit beiden geometrischen Klassen korrespondieren.

# Topologische Untersuchungen

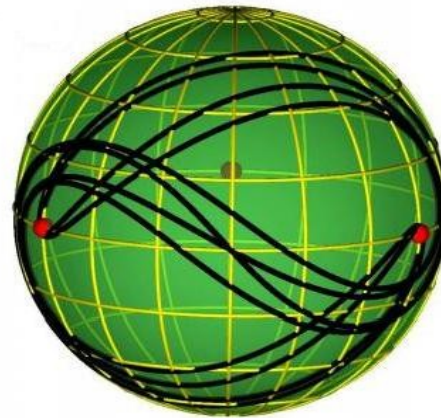
I.A



I.B



II.C



Vielen Dank für eure Aufmerksamkeit!

# Quellen

- [http://www.scholarpedia.org/article/Three\\_body\\_problem](http://www.scholarpedia.org/article/Three_body_problem)
- <http://arxiv.org/pdf/1303.0181v1.pdf>
- Danby, John. Fundamentals of Celestial Mechanics: The Macmillan Company, 1970
- Donnison J.R., Williams I.P., 1983, Celest. Mech., 31, 123.